

بررسی منشا چشمه آب گرم زیارت گرگان از طریق مطالعات هیدروشیمی و ایزوتوپی

مصطفی رقیمی^۱ و محمد ابراهیم یخکشی^۲

^۱گروه زمین شناسی، دانشکده علوم، دانشگاه علوم کشاورزی و منابع طبیعی گرگان؛ ^۲بخش مطالعات آبهای زیرزمینی اداره کل آب استان گلستان

تاریخ دریافت: ۸۰/۷/۱۱؛ تاریخ پذیرش: ۸۰/۱۲/۱۵

چکیده

امروزه چشمه‌های آب گرم از نظر اقتصادی، زمین شناسی، پژوهشی و صنعت جهانگردی حائز اهمیت می‌باشند. به همین دلیل، چشمه آب گرم زیارت به عنوان تنها چشمه آب گرم موجود در استان گلستان از نظر شیمیایی و ایزوتوپی مورد بررسی و مطالعه قرار گرفته است تا ضمن بررسی خواص و منشا، پتانسیل آن برای استفاده‌های مختلف مورد ارزیابی قرار گیرد. این چشمه با دبی متوسط سالانه ۵۲ لیتر بر ثانیه و دمای متوسط ۳۰ درجه سانتی گراد دارای رخصایر های هیدروشیمی در محدوده $\text{Na}^+ \text{HCO}_3^- \text{Cl}^-$ می‌باشد. کاتیون Na^+ این گردانی رخدانی غالب آن کلرید می‌باشد. خواص هیدروشیمی و معیارهای ژئوترمومتری چشمه، غالب آن سدیم و آئیون غالب آن کلرید می‌باشد. خواص هیدروشیمی و معیارهای ژئوترمومتری چشمه، گویای این است که سیستم تغذیه چشمه و ورودی به مخزن آن بصورت پراکنده و افشار بوده و سیستم خروجی آن بصورت کانالی و سریع تحت فشار است. منشا چشمه هیدروترمال نبوده و دمای آن ناشی از خواص زمین گرمایی است. مطالعات ایزوتوپی چشمه حاکی از سن قدیمی آب آن بوده و اثر ریزش‌های جدید در آن ناچیز است، تغذیه چشمه از ریزش‌های جوی مناطق مرتفع حوضه است، آب آن در عمق زیاد جریان داشته و با چشمه‌های اطراف ارتباطی ندارد. در راستای شناخت بهتر منشا چشمه آب گرم زیارت، برخی از چشمه‌های آب گرم پنهان البرز از نظر سنگ شناختی و هیدروشیمی با چشمه فوق مورد مقایسه قرار گرفته‌اند.

۲۹

واژه‌های کلیدی: هیدروشیمی، ایزوتوپ، چشمه آب گرم، روستای زیارت و گرگان.

برخی از چشمه‌های آب گرم ممکن است ارتباط چندانی با فعالیت آتش‌شانی نداشته باشند بلکه در اثر نفوذ آبهای سطحی در امتداد شکستگی و گسل‌ها و گرم شدن در اعمق و سپس صعود به

مقدمه

در ایران و جهان چشمه‌های معدنی و گرم بسیار زیادی وجود دارد که با توجه به شرایط مورفولوژی، تکتونیکی، ماغماتی و جوی می‌باشد.

این چشمۀ آب گرم ذکری به میان نیامده است (۵) و (۶)، اما در مطالعات تأمین آب گرگان از سازندۀای سخت جنوب گرگان، به این چشمۀ آب گرم اشاره گردیده است (۷). در این تحقیق، این چشمۀ از نظر هیدروشیمی، ژئوترمومتری، ایزوتوپی و همچنین تعیین نوع رخساره شیمیایی آب مورد مطالعه قرار گرفت. برای شناخت بهتر منشا این چشمۀ آب گرم اقدام به مقایسه برخی از خصوصیات از نظر سنگ شناختی و هیدروشیمی با سایر چشمۀای آب گرم انتخابی در پهنه البرز گردید.

مواد و روشها

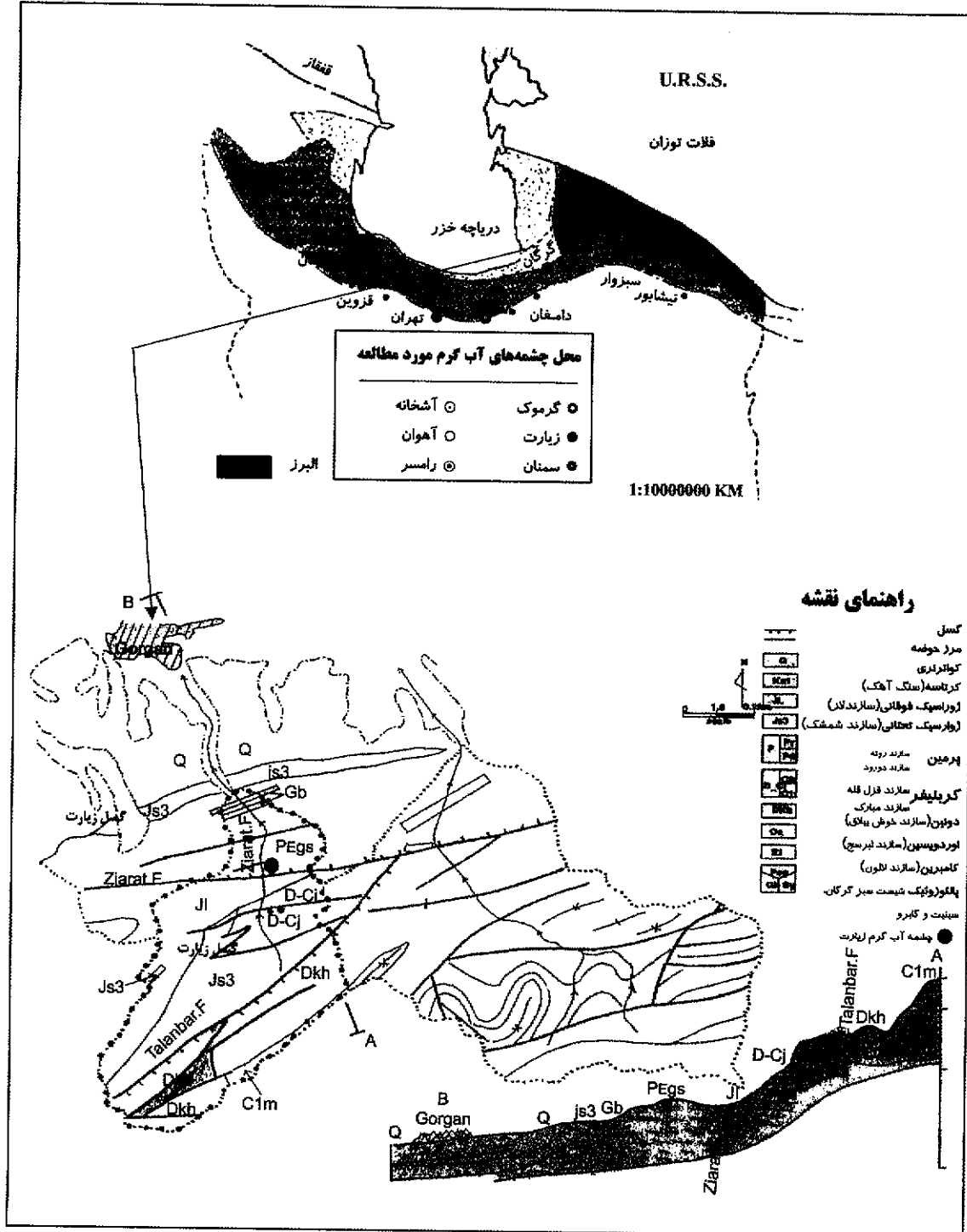
نمونه برداری از آب این چشمۀ از سال ۱۳۷۶ تا ۱۳۸۰ در فصل‌های بهار و پاییز انجام گرفت. نمونه‌ها در ظرف‌های پلاستیکی جمع آوری و برای تعیین کاتیون‌ها و آنیون‌های اصلی، در آزمایشگاه اداره کل آب استان گلستان مورد تجزیه شیمیایی قرار گرفتند. دمای آب چشمۀ با دماسنجه pH با دستگاه pH متر و EC نیز با دستگاه هدایت‌سنجه الکتریکی در محل اندازه‌گیری گردید. کاتیون‌های Na و K با دستگاه فلیم فتومتر تعیین گردید و سایر کاتیون‌ها و آنیون‌ها با روش تیتراسیون اندازه‌گیری شد (۸). داده‌های ایزوتوپی نمونه‌ها از مطالعات انجام شده بوسیله مهندسین مشاور آبقدن استخراج شده است (۷). دمای اعمق از ترکیبات شیمیایی آب چشمۀ با استفاده از ژئوترمترها از نمودار Mg, K, Na تعیین شده است. منشأ و نوع آب مورد مطالعه به کمک داده‌های ایزوتوپی و نمودار $\text{Cl}-\text{SO}_4-\text{HCO}_3$ مشخص گردید و به کمک نرم افزار Rockware 99 نمودارهای پایپرواستیف از داده‌های شیمیایی نمونه آب گرم زیارت ترسیم شده است.

سطح زمین پدید آمده باشند (۵). مطالعه چشمۀای معدنی و گرم ایران نیز بطور سیستماتیک صورت پذیرفته است (۱). سازمان زمین‌شناسی کشور مطالعه و بررسی چشمۀای معدنی ایران را انجام داده است و در حدود چهارصد چشمۀ آب معدنی و گرم موجود از نظر زمین‌شناسی و تکتونیک و منشأ مورد مطالعه قرار گرفته‌اند (۲). گزارش‌هایی در خصوص آبهای معدنی و گرم اطراف کوه دماوند و آذربایجان وجود دارد (۳و۴)، اما اکثر چشمۀای معدنی و گرم ایران بطور جامع از نظر هیدروشیمی و نوع آب آن نیز مطالعه شده‌اند (۶). چشمۀای آب گرم را می‌توان از نظر هیدروشیمی، ژئوترمولوژی، ژئوترمومتری و ایزوتوپی مورد بررسی قرار داد (۱۱، ۱۲، ۱۴، ۱۵، ۱۶، ۱۷و۱۸).

چشمۀ آب گرم زیارت در موقعیت جغرافیایی ۳۶ درجه، ۴۲ دقیقه و ۱۸ ثانیه عرض شمالی و ۵۴ درجه، ۲۸ دقیقه و ۴۶ ثانیه طول شرقی، در روستای زیارت در جنوب شهرستان گرگان و در بخش شمالی کوه‌های البرز واقع گردیده است (شکل ۱). این منطقه از نظر آب و هوایی دارای حداقل و حداقل دمای -6°C در درجه سانتی‌گراد در سال است. این چشمۀ در سازند جیرو و متعلق به دوره دونین - کربونیفر می‌باشد. این سازند در شرق روستای زیارت رخمنون دارد و سطحی در حدود ۱۰ کیلومتر مریع را دربر می‌گیرد. از نظر سنگ‌شناسی دارای سنگ‌های آهکی متراکم است که در اثر گسل‌های متعدد بصورت یک توده آهکی بین سازند خوش بیلاق و شیست گرگان قرار گرفته است و چشمۀ آب گرم از آن خارج می‌شود. این سازند از نظر ژئوترمولوژی دارای مخازن آب زیر زمینی کمی در منطقه می‌باشد (شکل ۱).

با توجه به گزارشها و منابع موجود در خصوص آبهای معدنی و چشمۀای آب گرم، از





شکل ۱-۲ موقعیت پرخی از چشم‌های آب گرم در زون البرز و نقشه زمین‌شناسی محدوده چشم‌آب گرم زیارت (۵)

نتایج و بحث

زیارت در ماههای مختلف تقریباً ثابت بوده و از یک الگوی جریان پیروی کرده و رخساره آن عموماً کلرید سدیم می‌باشد. ظهور این رخساره، بیانگر نفوذ عمقی جریان از حوضه آبگیر چشمیدر بالا دست از طریق گسل و سایر عوامل نفوذ، ترکیب و تبادل یونی با سنگ‌ها و رسوبات کولاژی و مردابی زیردونین و خوش‌بیلاق است که در اثر آن آب نفوذی رخساره کلرید - سدیک پیدا کرده، گرم شده و از طریق گسل به سطح آمده است. علاوه بر این، برای تجزیه و تحلیل شیمیایی داده‌ها از نمودارهای الگویی استیف نیز استفاده شده است (۱۶). در این نمودار تمرکز کاتیونها در سمت چپ و آنیونها در سمت راست است. در کلیه الگوهای رسم شده استیف، کاتیون‌های عمدۀ آن Na^+ بوده و آنیون آنها نیز Cl^- است. در مجموع، نمودارهای الگویی استیف نمودار پاپیر را تایید می‌نماید و بیانگر این است که ترکیب شیمیایی آب چشمیده از یک الگوی جریان پیروی می‌نماید (شکل ۳).

در مناطق دارای آب گرم می‌توان از طریق بررسی دما و ژئوترمتری آب، اطلاعات زیادی را کسب نمود. اساساً، در مخازن ژئوترمال دماها همگن نیستند و در جهات افقی و عمودی متفاوت می‌باشند. وقتی روش ژئوترمتری روی یک چشمیده آب گرم اعمال شود می‌توان دماهای تغذیه آب زیرزمینی را انتظار داشت، بخصوص اگر چشمیده از سفره آبهای زیرزمینی کم عمق تغذیه شود (۴). ژئوترمتریهای $\text{Na}-\text{K}-\text{Ca}$ و $\text{Na}-\text{K}-\text{Mg}$ را برای تعیین دما استفاده می‌شوند. $\text{Na}/100$ ، 11 ، 12 ، 13 و 15 در اینجا از مثلث $\text{K}/100$ و $\sqrt{(\text{Mg})}$ به عنوان روشی برای تعیین دمای مخازن و تشخیص اینکه آیا آبهای در تعادل با سنگ‌های میزان هستند یا خیر استفاده گردیده است (۱۴). همانطوریکه شکل ۴ نشان می‌دهد، تمام نمونه‌های چشمیده آب گرم زیارت در

نتایج دبی و تجزیه شیمیایی نمونه‌های آب چشمیده زیارت گرگان در جدول ۱ ارائه شده است. دمای چشمیده در طی زمان نوسانات خاصی نداشته و 3° درجه سانتی گراد بوده است اما pH و EC آن دارای محدوده تغییراتی از 7 تا $7/8$ و $1/6/52$ تا $1/9/58$ دسی‌زیمنس بر متر بوده است. باقیمانده خشک (TDS) نیز از $10/62$ تا $12/25$ میلی‌گرم در لیتر تغییر نموده است. مقادیر کاتیون Ca^{++} بین $7/0$ تا $12/4$ میلی‌گرم در لیتر، 28 Mg^{++} تا $5/7$ میلی‌گرم در لیتر، $20/3 \text{ Na}^+$ تا $25/3$ گرم در لیتر و K^+ بین $1/9$ تا $3/2$ میلی‌گرم در لیتر بوده است. در آنیونها، HCO_3^- از $22/1$ تا $37/8$ میلی‌گرم در لیتر، Cl^- از $31/1$ تا $36/5$ میلی‌گرم در لیتر و SO_4^{2-} از $13/9$ تا $25/3$ در لیتر تغییر بوده است. چشمیده آب گرم زیارت از نظر ویژگی‌های فیزیکی-شیمیایی قابل مقایسه با چشمیده‌های آب گرم دیگری در پنهان البرز است. مهمترین ویژگی‌های فیزیکی-شیمیایی این چشمیده‌های آب گرم در جدول (۲) نشان داده شده است (۵).

داده‌های شیمیایی چشمیده آب گرم زیارت بر روی نمودار پاپیر جهت تعیین رخساره‌های هیدروشیمی ترسیم گردید (۱۷ و ۱۹). هر رخساره، عملکردی از سنگ‌شناسی، تکتونیک و الگوی جریان در سفره آب زیرزمینی است (۶). کاتیون غالب در این نمونه‌ها سدیم می‌باشد و کلرید نیز آنیون غالب است. رخساره این آب در طی سال‌های $13/76$ تا $13/80$ متغیر بوده است بطوریکه در آبان Na^+ HCO_3^- ، در آبان Na^+ SO_4^{2-} و در بهمن Na^+ Cl^- بصورت 77 بوده است (شکل ۲). صرف نظر از تغییرات اندک در رخساره شیمیایی آب در ماههای مختلف آماربرداری که احتمالاً ناشی از تغییرات در دبی چشمیده است نتایج دیاگرام پاپیر بیان می‌دارد که تغییرات ترکیب شیمیایی چشمیده



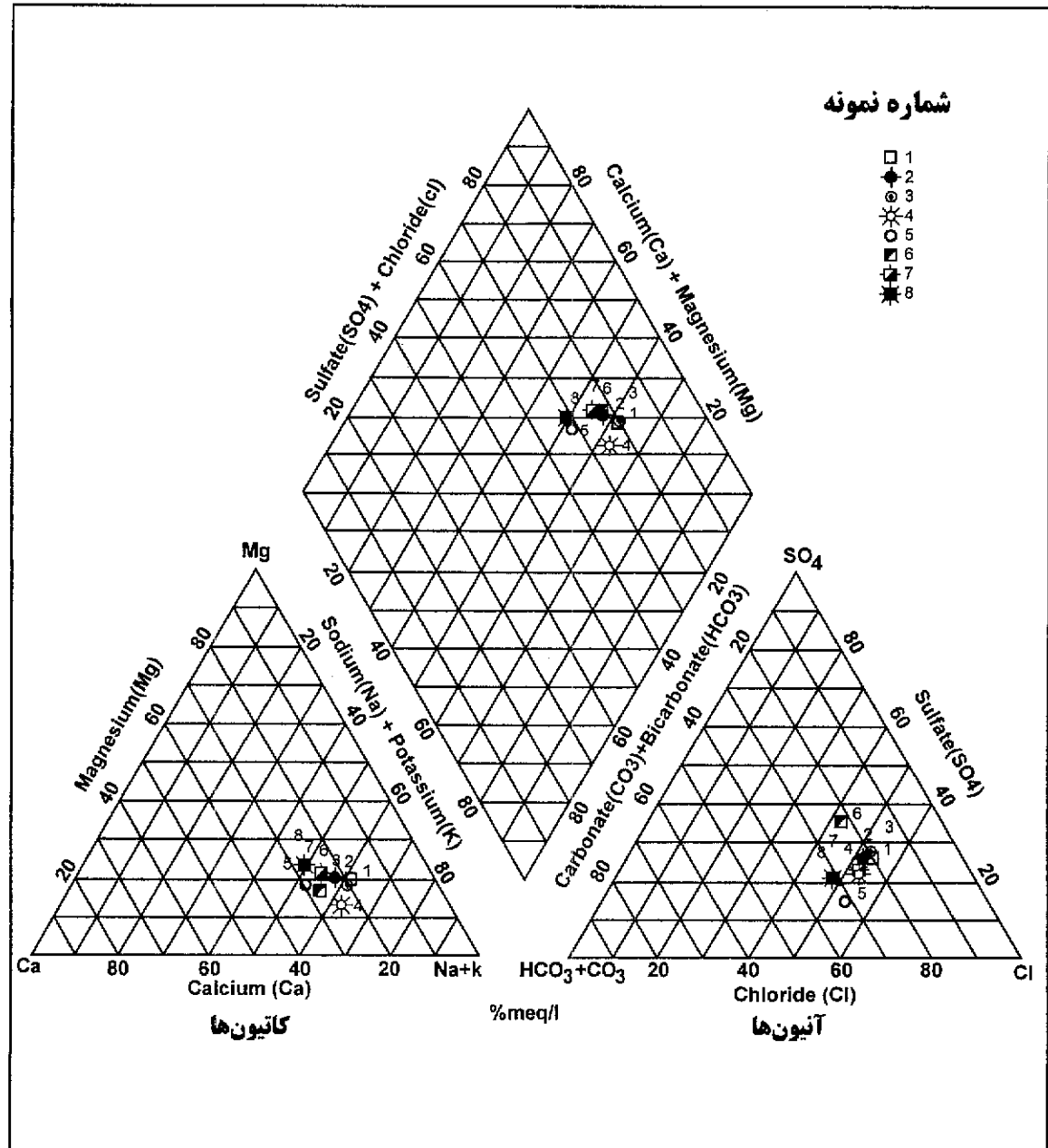


جدول ۱ - مقادیر دمی و نایاب آغازگر شیمیایی نمونه های آب گرم چشنه زیارت گرگان

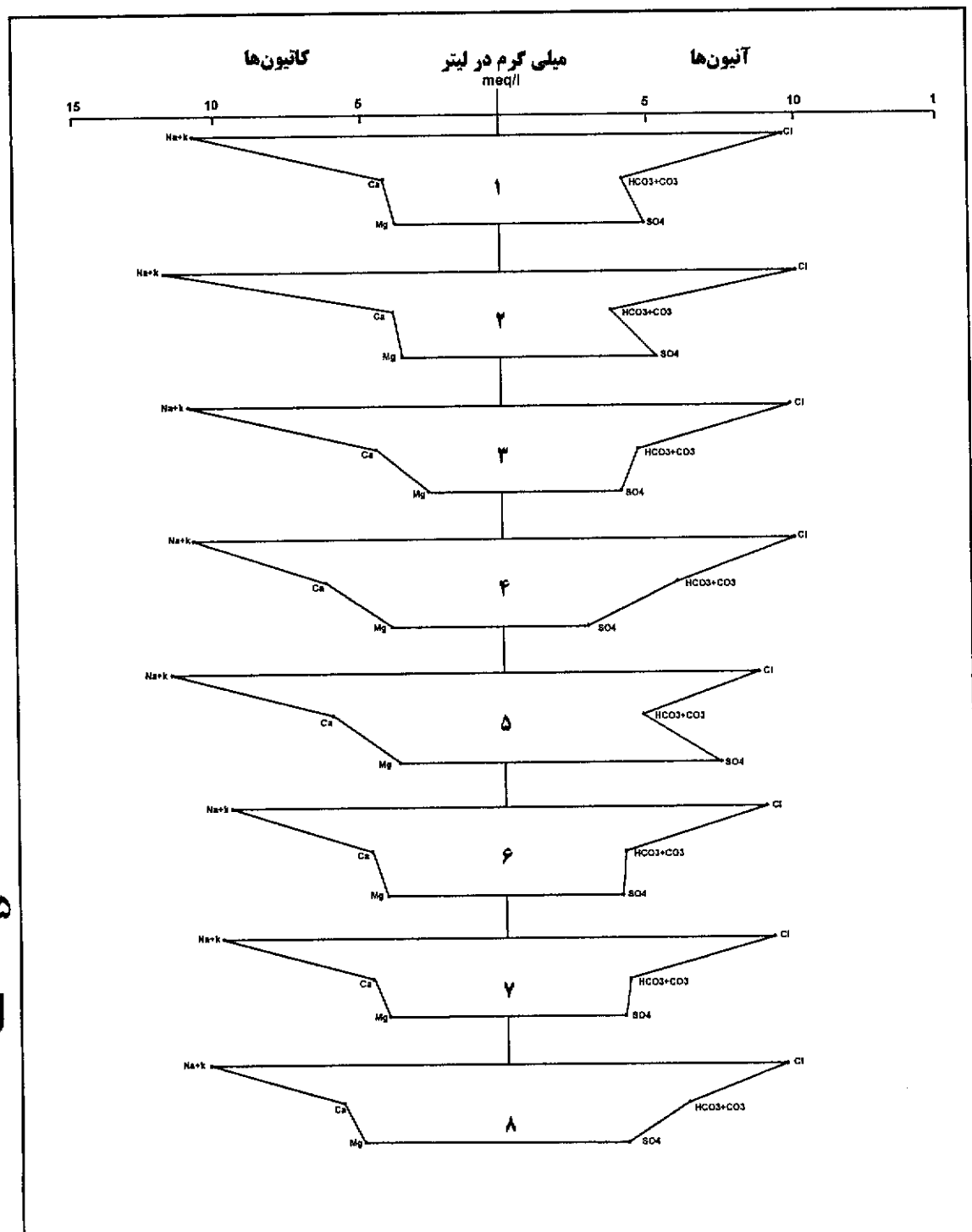
| K ⁺ ppm | Na ⁺ ppm | Mg ⁺⁺ ppm | Ca ⁺⁺ ppm | SO ₄ ⁻ ppm | Cl ⁻ ppm | HCO ₃ ⁻ ppm | T.D.S ppm | EC ds/m | T C° | Q Lit/sec | تاریخ نمونه گرداری | شماره نمونه |
|-----------------------|------------------------|-------------------------|-------------------------|-------------------------------------|------------------------|--------------------------------------|--------------|------------|---------|--------------|-----------------------|-------------|
| ۲۹ | ۲۴۴ | ۶۰ | ۷* | ۲۳۳ | ۲۵۰ | ۲۲۱ | ۱۱۳۱ | ۱/۷۴۵ | ۳* | ۰۹ | ۸/۰/۱/۱* | ۱ |
| ۲۸ | ۲۳* | ۶۱ | ۸۴ | ۲۳۷ | ۲۴۴ | ۲۰۱ | ۱۱۴۲ | ۱/۷۱۳ | ۳* | ۴۰ | ۷/۹/۸/۲ | ۲ |
| ۲۷ | ۲۰۳ | ۴۳ | ۷۸ | ۲۰۶ | ۲۰۶ | ۲۰۱ | ۱۱۸۳ | ۱/۸۳۶ | ۳* | ۰۱ | ۷/۹/۷/۱۴ | ۳ |
| ۲۶ | ۲۳* | ۷۸ | ۸۴ | ۱۹۹ | ۲۰۱ | ۲۸۷ | ۱۱۳۷ | ۱/۷۱۴ | ۳* | ۰* | ۷/۸/۸/۴ | ۴ |
| ۱۵ | ۲۳۸ | ۴۱ | ۱۲۴ | ۱۳۹ | ۲۱۰ | ۲۷۲ | ۱۱۹۷ | ۱/۸۲۹ | ۳* | ۴۹ | ۷/۸/۷/۱۲ | ۵ |
| ۲۳ | ۲۰۳ | ۴۳ | ۱۱۴ | ۲۰۳ | ۲۱۱ | ۲۸۷ | ۱۲۲۵ | ۱/۹۵۸ | ۳* | ۰* | ۷/۷/۸/۲ | ۶ |
| ۲۱ | ۲۰۳ | ۴۱ | ۸۱ | ۲۰۱ | ۲۰۱ | ۲۱۲ | ۱۰۶۲ | ۱/۱۵۲ | ۳* | ۰۸ | ۷/۷/۷/۱* | ۷ |
| ۲۶ | ۲۱* | ۵۷ | ۱۰۸ | ۱۹۹ | ۲۳۶ | ۲۷۸ | ۱۲۰۵ | ۱/۸۷۳ | ۳* | ۰۷ | ۷/۱/۸/۲ | ۸ |

جدول ۲ - مقادیر دمی و نایاب تجزیه شیمیایی نمونه چشنه های آب گرم در به البرز(۵).

| K ⁺ ppm | Na ⁺ ppm | Mg ⁺⁺ ppm | Ca ⁺⁺ ppm | SO ₄ ⁻ ppm | Cl ⁻ ppm | HCO ₃ ⁻ ppm | T.D.S ppm | EC ds/m | T C° | Q Lit/sec | تاریخ نمونه گرداری | شماره نمونه |
|-----------------------|------------------------|-------------------------|-------------------------|-------------------------------------|------------------------|--------------------------------------|--------------|------------|---------|--------------|-----------------------|-------------|
| ۸/۳* | ۲۷۷/۰ | ۱۹۷/۹۳ | ۱۱۷/۷۶ | ۱۱۷/۷۶ | ۹۵۱/۲ | ۱۳۷/۰۸ | ۱۹۷۵ | ۲/۹ | ۲۸ | ۰* | ۷/۱ | گوموک |
| ۱/V | ۱۰* | ۳۷/۱۴ | ۹۷/۲۲ | ۳۲/۷/۱ | ۱۱۵/۰ | ۲۱۴/۲ | ۹۷* | ۱/۵ | ۲۴ | ۰* | ۷/۱ | آشخانه |
| ۱/V* | ۲۹۷/۰ | ۴۹ | ۱۸۸ | ۰۱۶ | ۷۸۳/۰ | ۲۸۱ | - | ۳/۲ | ۲۲ | ۰* | ۷/۱ | آهوان |
| * | ۳۷۰* | ۲۸۲ | ۰۱* | ۱۰/۹۰ | ۰۲۰* | ۲۰۰ | ۱۱۲۰* | ۱/۱۱ | ۳۰ | ۰* | ۷/۱ | سمنان |
| ۲۹ | ۳۸۰* | ۱۰۱/۲ | ۵۷* | ۱۹۷/۹۴ | ۷۹۰/۰۱ | ۷۳۷/۲۲ | ۱۳۰/۰۰ | ۱/۱۱ | ۴۱ | ۰* | ۷/۰/۲ | رامسر |



شکل ۲- نمودار پاییر چشمی آب گرم زیارت با استفاده از نمونه‌های هشت گانه ۱۳۷۶-۱۳۸۰ لغایت.



شکل ۳- نمودارهای الگویی استیف چشمده آب گرم زیارت گرگان در نمونههای هشت گانه ۱۳۷۶-۱۳۸۰.

با هدف تعیین مکانیسم تغذیه و الگوهای جریان آبهای زیرزمینی انجام شد. در این مطالعه، رادیو ایزوتوپ تریتیوم به منظور تعیین سن، تشخیص جنس سنگ مخزن و بستر جریان آب زیرزمینی و نیز دو ایزوتوپ پایدار اکسیژن ۱۸ و دوترم برای تشخیص مراکز تغذیه و نوع و منشأ آب و همچنین اختلاط و ارتباط هر آب با سایر آبهای منطقه استفاده شده است. از چشمۀ آب گرم زیارت، در فصل بهار و اوخر تابستان سال ۱۳۷۴ نمونه برداری صورت گرفت و ایزوتوپ‌های آنها آنالیز گردید.^(۷)

براساس این نتایج، در اوخر تابستان مقادیر تریتیوم، O^{18} و H^2 به ترتیب 0.7 ± 0.05 و 7.7 ± 1.1 و در بهار مقادیر تریتیوم و O^{18} نیز 1.0 ± 0.89 - گزارش شده است^(۷). نتایج تریتیوم بیانگر آن است که چشمۀ آب گرم زیارت از سری آبهایی است که از نظر سن قدیمی بوده و اثر ریزش‌های جوی جدید در آنها ناچیز است. نتایج O^{18} حاکی از آن است که ارتفاع محل تغذیه چشمۀ آب گرم زیارت بالا بوده و مربوط به ریزش‌های جوی مناطق مرتفع حوضه است و آب این چشمۀ از عمق زیاد جریان یافته و به سطح می‌آید.

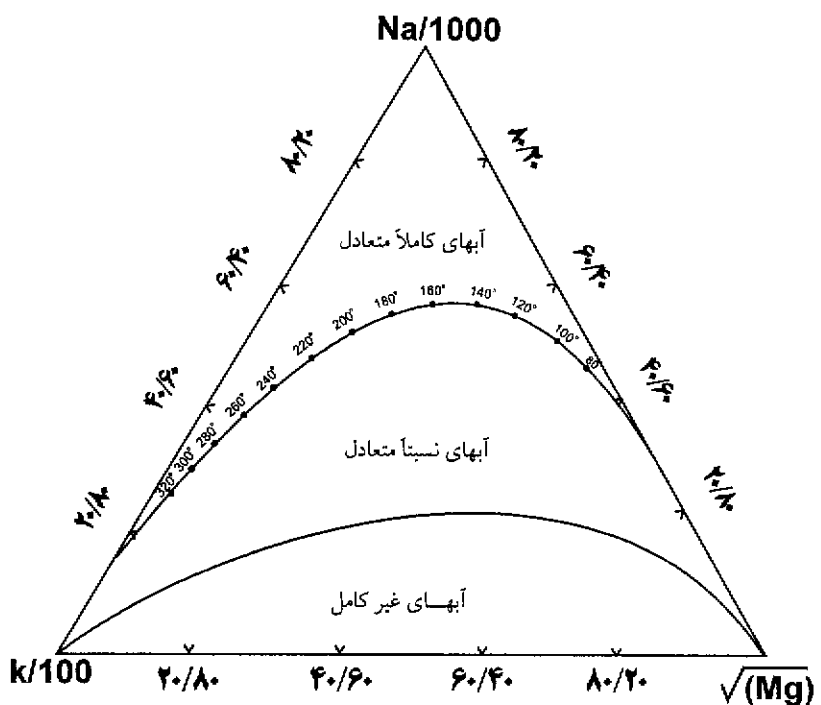
دمای ثابت چشمۀ آب گرم زیارت گرگان در مقایسه با تغییرات فصلی دمای محیط بیانگر عمقی بودن منشأ و مخزن چشمۀ می‌باشد. ترکیبات چشمۀ بیانگر معدنی بودن آن است و تیپ آب آن کلرید-سدیک می‌باشد. مقایسه چشمۀ آب گرم زیارت از نظر ویژگی‌های زمین‌شناختی و هیدروشیمی با چشمۀ‌های آب گرم گرمک، آشیخانه، آهوان، سمنان و رامسر توسط گسل‌های منطقه کنترل گردیده است. مظہر چشمۀ آب گرم گرمک و آهوان نظری چشمۀ آب گرم زیارت در سنگ آهک‌های گسلیده یا مرز گسلی این سنگ‌های کربناته با سایر سنگ‌ها قرار

گوشۀ Mg تمرکز یافته‌اند و این امر دلالت بر آن دارد که آبهای این چشمۀ ناکامل هستند و واکنش چشمۀ آب گرم با سنگ در دماهای تقریباً پایین صورت می‌گیرد (بدلیل اینکه غلظت زیاد Mg معمولاً در دماهای پایین افقاً می‌افتد). همانطوریکه جریان ژئوترمالی از محیط‌های با دمای بالا به پایین جریان می‌یابد، مقدار قابل توجهی از Mg را براحتی از سنگ‌های اطراف در خود حل کرده و به همراه می‌آورد^(۶). در این مطالعه نیز غلظت Mg با توجه به دمای چشمۀ آب گرم زیارت (۳۰ درجه سانتی‌گراد) زیاد است که بیانگر انحلال منیزیم در دمای پایین و خروج آن به سطح است که در واقع دلالت بر نفوذ آب به عمق گرم شدن و خروج آن از مظہر چشمۀ دارد و سیستم جریان آن کانالی است و فرصت برای تعادل یونی کامل وجود ندارد.

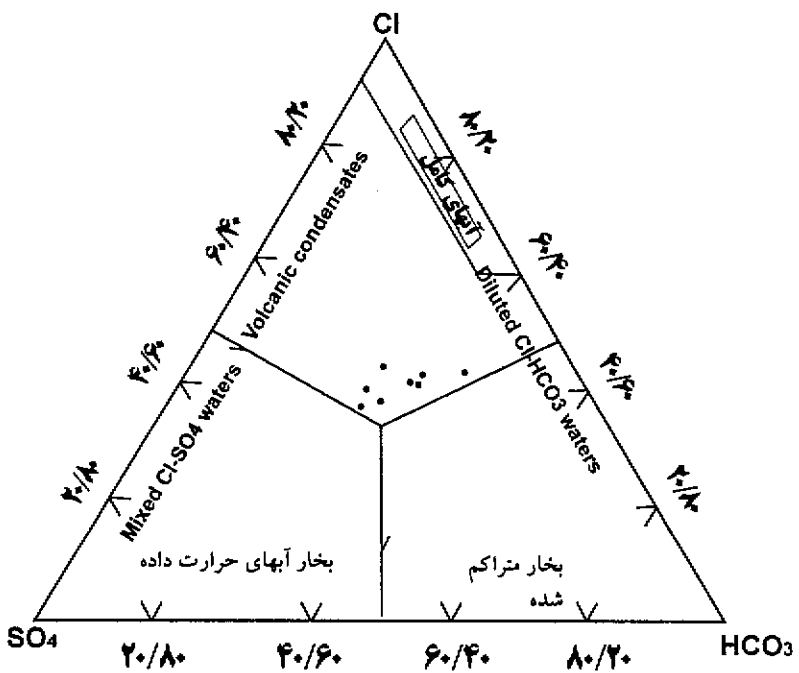
نمودار ژئوترمومتر $Cl-SO_4-HCO_3$ ارتباط بین ترکیبات مختلف را نشان می‌دهد. این نمودار بیانگر نحوه مخلوط شدن آبهای و توزیع جغرافیایی آنها در یک منطقه ژئوترمالی است، بطوریکه برای مثال آبهای حاوی کلرید در مرکز منطقه ژئوترمالی قرار گرفته و بتدریج به آبهای بی‌کربنات دار در حاشیه تبدیل می‌شوند و آبهای گرم و بخار حاوی SO_4 معمولاً در مناطق بالای میدان ژئوترمالی قرار می‌گیرند و درجه تغییرات داده‌ها بیانگر نحوه ارتباط آبهای با یکدیگر نیز است^(۱۸). شکل ۵ نمودار $Cl-SO_4-HCO_3$ را برای چشمۀ آب گرم زیارت نشان می‌دهد. این نمودار بیانگر آن است که آبهای چشمۀ زیارت به لحاظ ترکیبات شیمیایی و ارتباط و تبادل یونی با سنگ مخزن ناکامل بوده و میل به تبدیل به رخساره HCO_3 دارد که در واقع بر تبادل CO_2 با سیال تغذیه شونده در محیط پایین دلالت دارد. مطالعات ایزوتوپ‌های طبیعی چشمۀ‌ها و منابع آبی حوضه از جمله چشمۀ آب گرم زیارت،

۳۶





شکل ۴- نمودار مثلثی $\text{Na}^+ - \text{K}^+ - \text{Mg}^{+2}$ چشمی آب گرم زیارت گرگان.



شکل ۵- نمودار مثلثی $\text{Cl}^- - \text{HCO}_3^{-2} - \text{SO}_4^{2-}$ چشمی آب گرم زیارت گرگان.

بیشتری به سطح آمده و بصورت چشمه آب گرم خارج شده است. آب این چشمه با آبهای چشمه‌های اطراف ارتباطی ندارد.

خواص درمانی آب گرم چشمه زیارت نیازمند بررسی بیشتری است، لیکن می‌توان از آن برای مصارف گرمایی و سایر مصارف غیرشرب با انجام لوله‌کشی برای رستای زیارت مورد استفاده قرار گیرد.

سپاسگزاری

نویسنده‌گان از جناب آقایان مهندس حسین دهقان و مهندس سید محمد سید خادمی که همکاری صمیمانه و محبت‌آمیزی در تهیه این مقاله داشته‌اند، کمال تشکر و سپاس را دارند.

گرفته است. تیپ هیدروشیمی چشمه‌های آب گرم گرموک، آهوان، سمنامو رامسر نیز مانند چشمه آب گرم زیارت از نوع کلرید- سدیک و کربنات کلسیم است. مطالعات انجام شده منشا این چشمه‌های آب گرم را انرژی زمین گرمایی نشان می‌دهد. از مجموع بررسی‌های به عمل آمده چنین نتیجه گیری می‌شود که منشاً گرمایی آب چشمه زیارت انرژی زمین گرمایی بوده و منشاً هیدروترمالی ندارد. تغذیه آن به گونه‌ای است که تغذیه آن از آبهای جوی در ارتفاعات بالا سرچشمه گرفته و از طریق نفوذ سطحی و درز و شکافها به صورت افشار^۱ به عمق رفته و در اثر انرژی زمین گرمایی، گرم شده و نهایتاً از طریق گسل زیارت بصورت جریان کاتالی^۲ با سرعت



منابع

۱. ایقانیان، ر. وی. صیونت، ۱۳۵۲. مطالعه سیستماتیک چشممهای معدنی ایران ، وزارت نیرو، تهران.
۲. سازمان زمین شناسی کشور، ۱۳۶۸. نقشه آبهای معدنی و گرم ایران، تهران.
۳. شاه بیک، ۱۳۶۶. آبهای معدنی و گرم آذربایجان، سازمان زمین شناسی کشور، تهران.
۴. شاه بیک، ۱۳۶۹. آبهای معدنی اطراف کوه دماوند، سازمان زمین شناسی کشور، تهران.
۵. شاه بیک، ۱۳۷۲. آبهای معدنی و گرم، زمین شناسی ایران، معاونت طرح و برنامه ، سازمان زمین شناسی کشور، تهران، ۲۱۲ صفحه.
۶. غفوری، م. ر. ۱۳۶۵. شناخت آب معدنی و چشممه معدنی ایران، انتشارات دانشگاه تهران، تهران، ۲۸۸ صفحه.
۷. مهندسین مشاور آبن. ۱۳۷۵. مطالعات تأمین آب از سازندهای سخت جنوب گرگان، گزارش هیدرولوژی، جلد چهارم، ۳۳۷ صفحه.
8. APHA, AWWA and WOCF. 1989. Standard methods of determination of water and wastewater, 15th ed. APHA Publication.
9. Arnorsson, S., E. Gunniagsson, and H. Svarsson. 1983. The chemistry of geothermal waters in Iceland: III. Chemical geothermometry in geometrical investigation. *Geochim. Cosmochim Acta*. 47: 567-577.
10. Back, W. 1966. Hydrochemical facies of groundwater flow pattern in northern part of Atlantic coastal plain. U.S. Geol Surv .Prop. paper 498-A.
11. Fournier, R.O. 1944. Chemical geotermometers and mixing models for geothermal systems. *Geothermics*, 5: 41-50.
12. Fournier, R.O. 1981. Application of water chemistry to geothermal exploration. p. 109-143. In: M. Rybach (eds) *Geothermal Systems, Principles and Case Histories*, Wiley, Chichester.
13. Fournier, R.O., and R.W. Potter. 1979. Magnesium correction to Na-K-Ca geothermometer. *Geochim. Cosmochim Acta*. 37: 1255-1275.
14. Fournier, R.O., and A. Treusdell. 1973. An empirical Na-K-Ca geothermometer for natural waters. *Geochim Cosmochim Acta*. 52: 2749-2765.
15. Giggenback, W.F. 1988. Geothermal solute equilibria, deviation of Na-K-Mg-Ca geoindicators. *Geochim Comochim Acta*. 52: 2749-2765.
16. Giggenback, W.F. 1991. Chemical techniques in geothermal exploration. In: D'Amore F (CO-Ordinator), *Application of geochemistry in geothermal reservoir development*. UNITAR/UNDP Publication, Rome. 119-142.
17. Hem, J.D. 1989. Study and interoperation of chemical characteristics of natural water. U. S. Geological Survey.
18. Ozler, H.M. 2000. Hydrogeology and geochemistry in the Curuksu, Denizli hydrothermal field, western Turkey. *Environmental Geology*. 39:1169-1180
19. Piper, A.M. 1944. A Graphic procedure in geochemical interpretation and water analyses. *AGU Trans*. 25:914-923.
20. Stiff, H.A. 1951. The interpretation of chemical water analysis by means of patterns. *J. Petrol. Tech*. 3: 15-17.



The origin of the thermal water of Ziarat, Gorgan by hydrochemistry and isotopic studies

M. Raghimi¹ and M.E. Yakhkashi²

¹Gorgan University of Agricultural Sciences and Natural Resources, Gorgan, Iran; ²Water Bureau of Golestan Province, Gorgan, Iran.

Abstract

Nowadays, thermal springs are very important from economic, geology medicine and tourism. Thermal spring of Ziarat is the unique thermal water of Golestan Province, which are undergone chemical and isotopic studies for determination of its properties and origin as well as its potential for other applications. This water springs with annual flow of about 52 lit/sec and means temperature of 30°C has hydrochemistry facies in limit of Na^+Cl^- and $\text{Na}^+\text{HCO}_3^-$. Dominated cation is sodium while dominated anion is chloride. Hydrochemistry properties and geothermometry of this spring indicate that the feed system and input to reservoir are scatter and dispersive while output system is conduit and under pressure. So that, it is not considered as a hydrothermal spring. The high temperature of this spring is due to thermal gradient. Isotopic studies reveals that the origin of water is not old and traces of new precipitation are very low. The feeding of this spring is from precipitation of highest part of watershed. The flowage occurs at depth and is not related to surrounding springs.

Keywords: Thermal water; Hydrochemistry; Isotopic studies; Ziarat, Gorgan.

۴۰

